

Lehrbücher zur Elektrotechnik

Energiesysteme im Umbruch XII

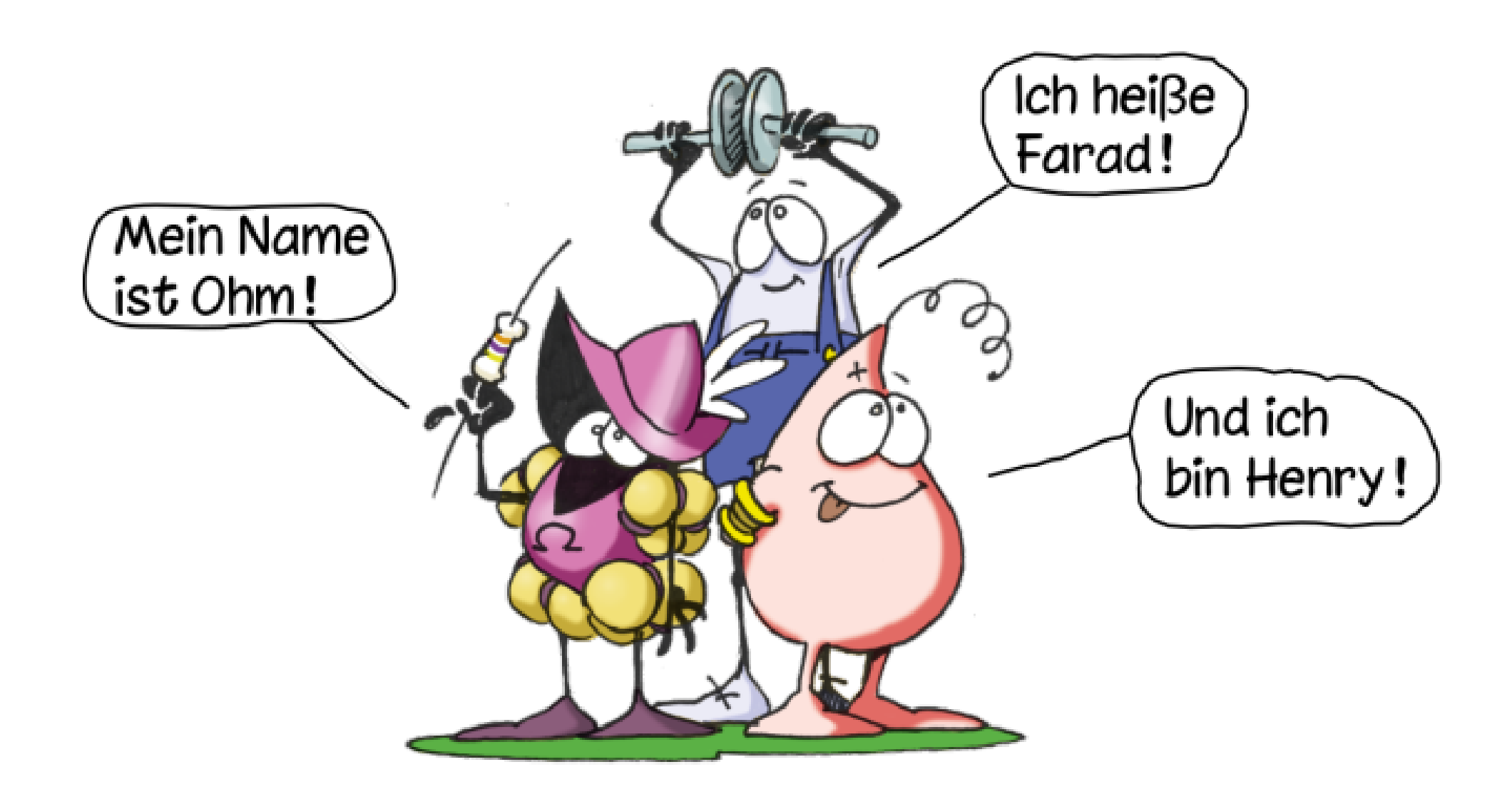
Christian Kral TGM, Wexstraße 19-21, 1200 Wien mailto: ckral@tgm.ac.at



Christian Kral ■ 2024-10-02 1/17

Figuren in den Büchern

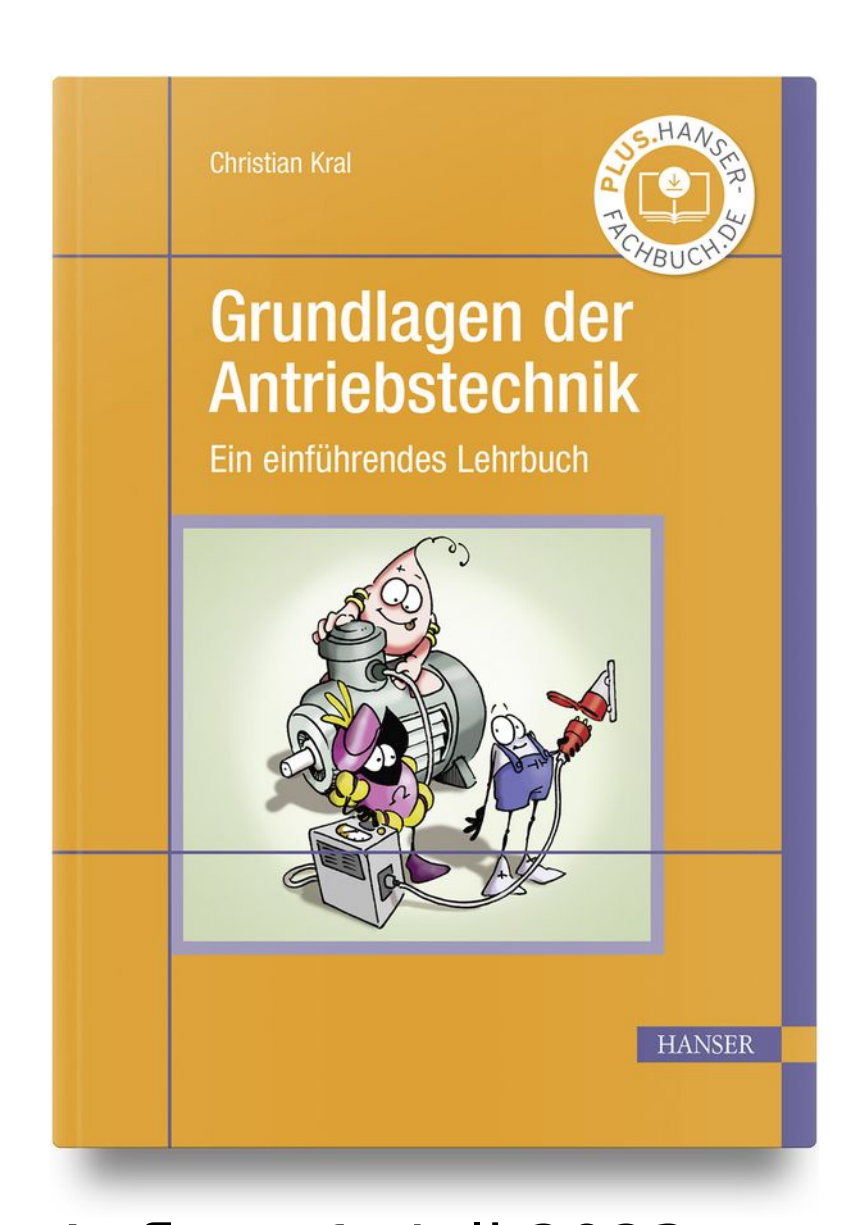




Christian Kral ■ 2024-10-02 2/17

Aktuelle Lehrbücher





- 1 Grundlegendes Handwerkszeug
- 2 Mechanik
- 3 Betriebsumfeld
- 4 Magnetfeld
- 5 Einphasen-Transformator
- 6 Drehstrom-Transformator
- 7 Gleichstrommaschine
- 8 Gleichstromsteller
- 9 Netzgeführter Gleichrichter
- 10 Drehfeldmaschine
- 11 Asynchronmaschine
- 12 Synchronmaschine
- 13 Selbstgeführter Stromrichter
- A Technologievergleich

Auflage 1: Juli 2023 In der Schulbuchliste ab 2025-26

Grundlagen der Antriebstechnik



- Lehrstoff Antriebstechnik (AT)
 - 2. Jahrgang: Mechanik, Betriebsumfeld
 - 3. Jahrgang: Transformator, GM, ASM
 - 4. Jahrgang: ASM, SM, Leistungselektrronik



Christian Kral ■ 2024-10-02 4/17

Grundlagen der Antriebstechnik



- Zeitgemäße Inhalte
- Praxisnahe Bilder (Buch und LeTTo)
- Erweiterte Inhalte





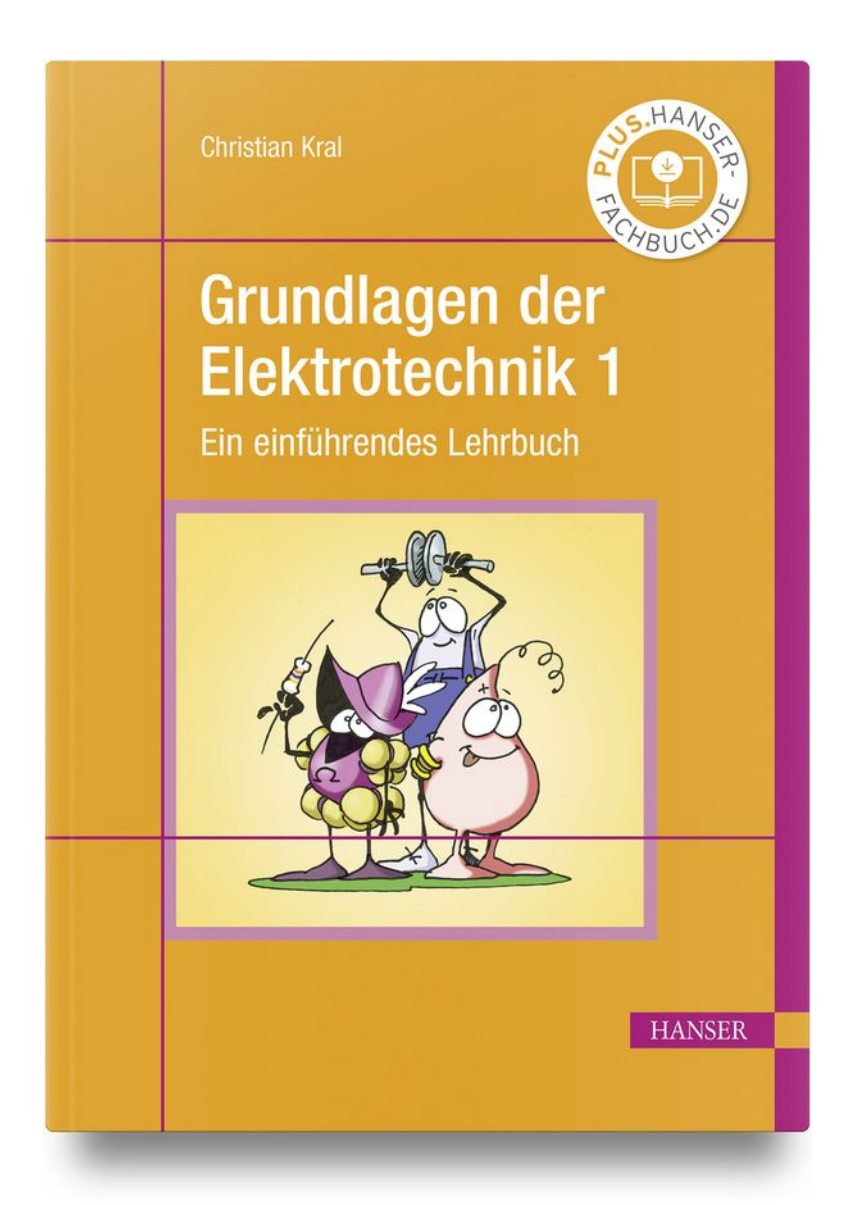
(a) (b)

Bild 12.4 Erregerwicklung einer Vollpolmaschine (a) mit Läuferkappenring (b) in der Fertigung: ① Leiter der Erregerwicklung, ② Rotoreisen, ③ Läuferkappenring (Fotos: © Siemens Energy, 2023)

Christian Kral ■ 2024-10-02 5/17

Aktuelle Lehrbücher





Auflage 1: Juli 2024

- 1 Grundlegendes Handwerkszeug
- 2 Gleichstrom
- 3 Elektrisches Feld
- 4 Trigonometrie
- 5 Vektorrechnung
- 6 Magnetisches Feld

Lehrstoff Energiesysteme (ES)

- 1. Jahrgang
 - Gleichstrom
 - Elektrisches Feld

Lehrstoff Antriebstechnik (AT)

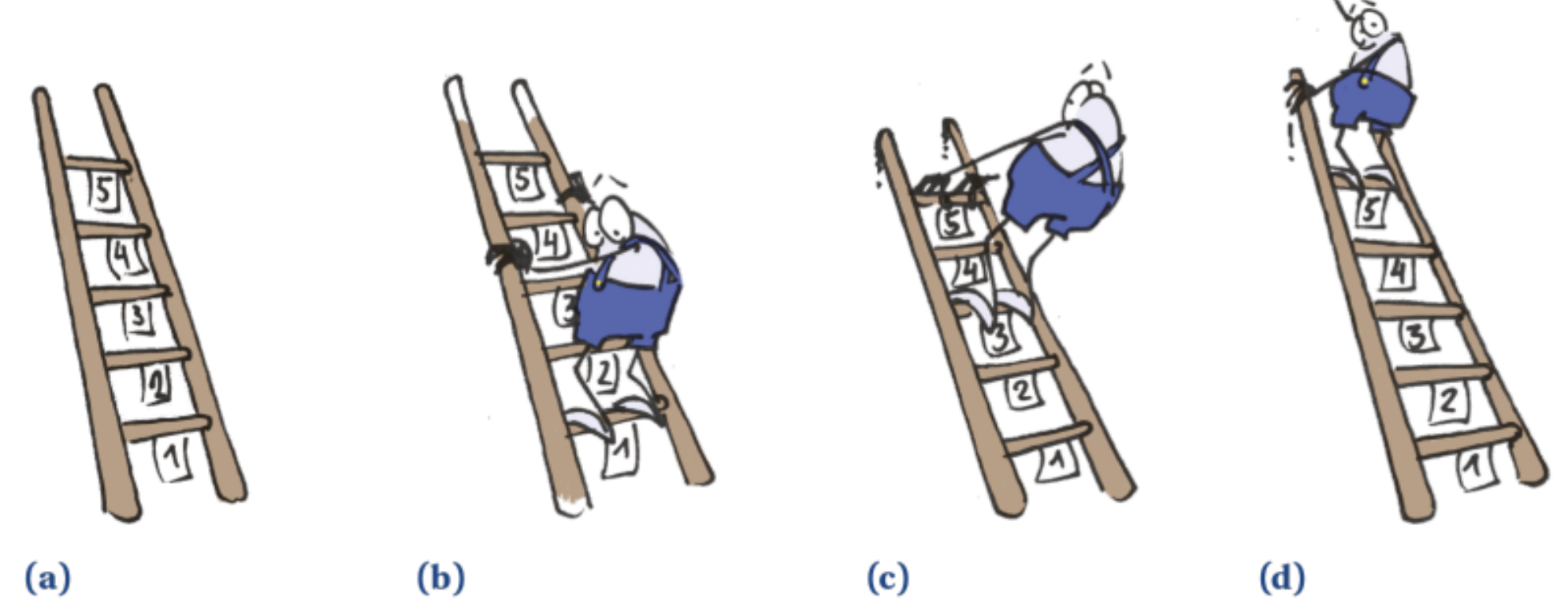
- 2. Jahrgang:
 - Trigonometrie
 - Vektorrechnung
 - Magnetisches Feld

Christian Kral ■ 2024-10-02 6/17

Illustrationen



- Illustration statt technischer Zeichnung
- Förderung der Vorstellung und der Erinnerung
- Darstellung von Sachverhalten
 - Vereinfachen und das Wesentliche zeigen
 - Inhaltlich genau bleiben

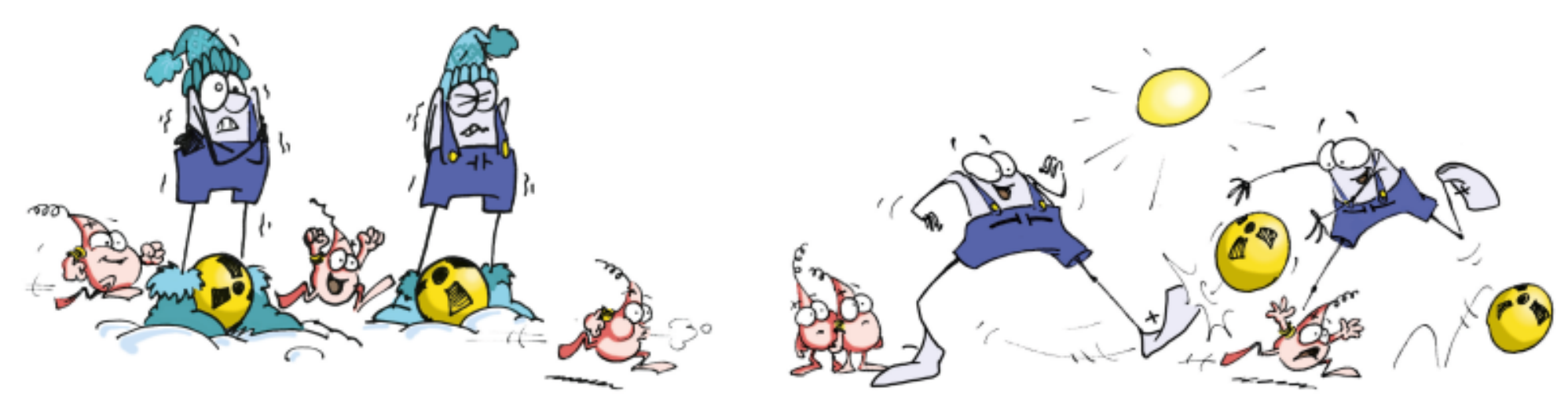


Beispiel: Das elektrische Potenzial

Christian Kral ■ 2024-10-02 7/17

Illustrationen





Die Wärmebewegung der Atome behindert die "freie" Bewegung der Elektronen



Der Widerstand ist umso größer, je länger der Leiter und je geringer der Querschnitt des Leiters ist

Christian Kral ■ 2024-10-02 8/17

Freie Bildquellen



2.7.6 Kirchhoffsche Knotenregel



Bild 2.35 Stadt Passau am Zusammenfluss dreier Flüsse; ① Inn, ② Donau, ③ Ilz, ④ die Vereinigung dieser drei Flüsse wird als Donau bezeichnet (Foto © Carsten Steger, CC BY-SA 4.0, via Wikimedia Commons)

Christian Kral ■ 2024-10-02 9/17

LeTTo-Aufgaben



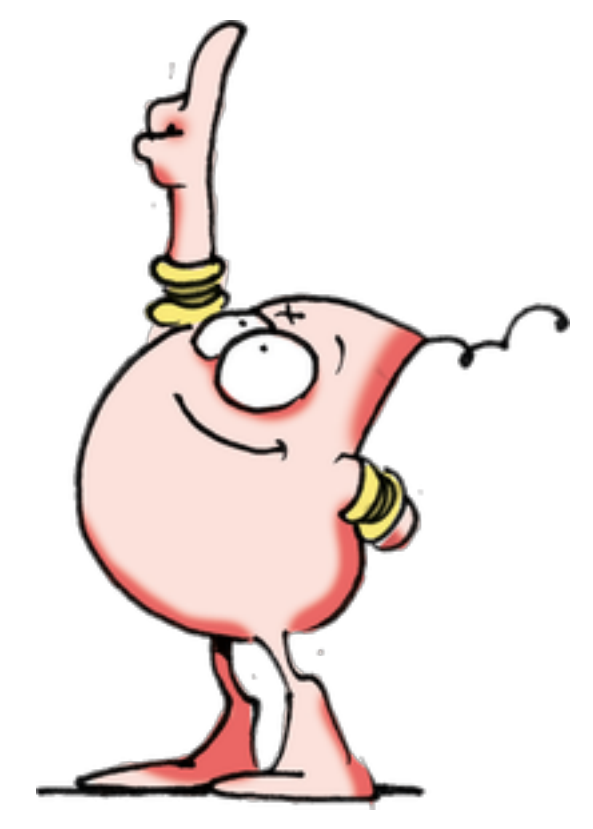
- Grundlagen der Antriebstechnik: ca. 850 Aktivitäten
- Grundlagen der Elektrotechnik 1: ca. 900 Aktivitäten

Aufgabensammlung auf https://s5.letto.at/kral/open



Fragesammlungen - kral

- Arbeiten mit LeTTo
- Grundlagen der Antriebstechnik (Kral)
- Grundlagen der Elektrotechnik 1 (Kral)



Christian Kral ■ 2024-10-02 10/17

LeTTo-Aufgaben



LETTC

Fragesammlungen - kral

- Arbeiten mit LeTTo
- Grundlagen der Antriebstechnik (Kral)
- Grundlagen der Elektrotechnik 1 (Kral)
 - 1 Grundlegendes Handwerkszeug
 - 2 Gleichstrom
 - 2.1 Strom
 - 2.2 Stromkreis
 - 2.3 Stromdichte
 - 2.4 Potenzial und Spannung
 - 2.5 Widerstand und Leitwert
 - 2.6 Ideale Quellen
 - 2.7 Serien- und Parallelschaltung
 - 2.7.1 Kirchhoffsche Maschenregel
 - 2.7.2 Serienschaltung von Widerständen
 - 2.7.3 Spannungsteilerregel
 - 2.7.4 Serienschaltung von Spannungsquelle
 - 2.7.5 Amperemeter
 - 2.7.6 Kirchhoffsche Knotenregel
 - 2.7.7 Parallelschaltung von Widerständen
 - 2.7.8 Stromteilerregel

Stromteiler 1

Stromteiler 2

Stromteiler 3

R*R max 1

R*R max 2

R*R max 3

R*R*R max 1A

R*R*R max 1B

2.7.9 Voltmeter

2.8 Widerstandsnetzwerke

R*R*R max 1B

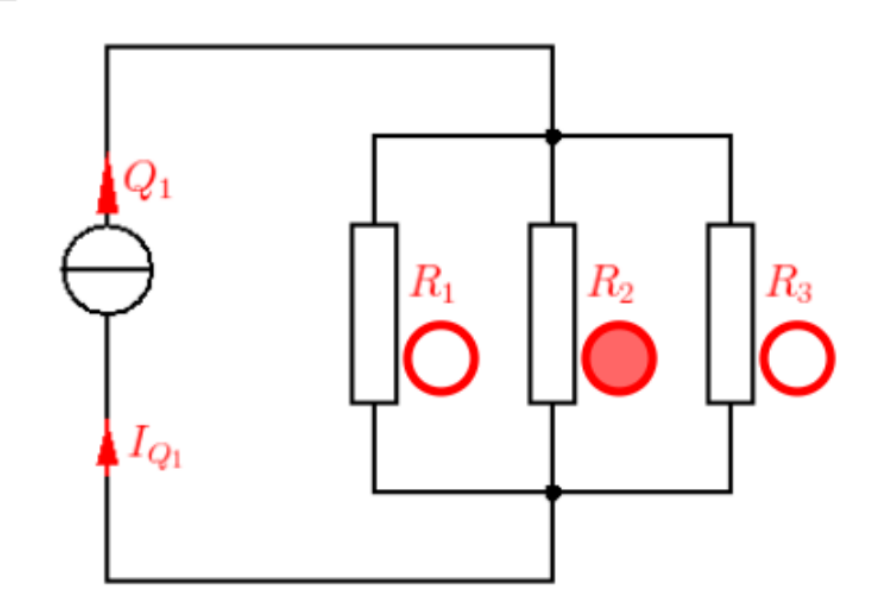


Grundlegende Aufgabe

Die Widerstände $R_1=200\,\Omega$, $R_2=360\,\Omega$ und $R_3=340\,\Omega$ werden von einer Gleichstromquelle mit Energie versorgt.

Kennzeichnen Sie jenen Widerstand, durch den der kleinste Strom fließt.







Christian Kral ■ 2024-10-02 11/17

Gesamteindruck



48 2 Gleichstrom

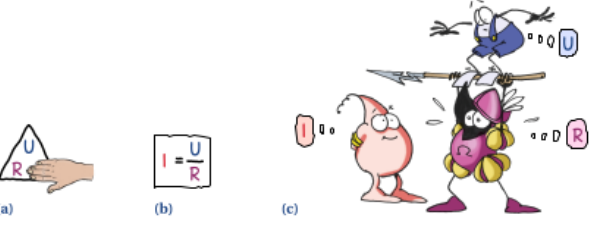


Bild 2.22 (a) URI-Dreieck mit abgedecktem I, (b) Ohmsches Gesetz mathematisch formuliert, (c) Ohmsches Gesetz dargestellt von Ohm, Farad und Henry



Bild 2.23 (a) URI-Dreieck mit abgedecktem *U*, (b) Ohmsches Gesetz mathematisch formuliert, (c) Ohmsches Gesetz dargestellt von Ohm, Farad und Henry

Strom. Wenn wir nun im URI-Dreieck von Bild 2.22a den Strom I abdecken, bleiben die Spannung U oben und der Widerstand R unten stehen. In Bild 2.22c haben Ohm und Henry gegenüber Bild 2.21c einfach nur Plätze getauscht. Das Ohmsche Gesetz ist in der zugehörigen Umformung lautet:

$$I = \frac{U}{R} \qquad I = G \cdot U \qquad (2.22)$$

Spannung. Damit bleibt jene Umformung des Ohmschen Gesetzes übrig, bei der wir die Spannung U im URI-Dreieck von Bild 2.23 abdecken. Der Widerstand R und der Strom I stehen nun unmittelbar nebeneinander, wie Ohm und Henry. Der Widerstand R und der Strom I treten in der umgeformten Gleichung als Produkt auf, woraus sich die Spannung U ergibt:

$$U = R \cdot I \qquad U = \frac{1}{C} \cdot I = \frac{I}{C} \qquad (2.23)$$



Das **Ohmsche Gesetz** gilt für jeden Ohmschen Widerstand einer elektrischen Schaltung mit

- · der jeweiligen Spannung am Widerstand und
- dem jeweiligen Strom durch den Widerstand.

2.5 Widerstand und Leitwert

Zahlenwertbeispiel 2.7. Der Widerstand $R_1 = 20\,\Omega$ in Bild 2.19b ist vom Strom $I_{R1} = 1,5\,\mathrm{A}$ durchflossen. Wir bestimmen die Spannung U_{R1} am Widerstand:

$$U_{R1} = R_1 \cdot I_{R1} = 20 \Omega \cdot 1.5 A = 30 V$$

Zahlenwertbeispiel 2.8. Der Widerstand $R_2 = 40\Omega$ in Bild 2.19c wird an der Spannung $U_{R2} = 50$ V betrieben. Damit können wir den Strom durch den Widerstand berechnen:

$$I_{R2} = \frac{U_{R2}}{R_2} = \frac{50 \text{ V}}{40 \Omega} = 1,25 \text{ A}$$



Sonderfälle von Widerständen bzw. Leitwerten:

- Eine ideale Verbindung¹⁴ weist den Widerstand R = 0Ω auf.
- Eine Unterbrechung¹⁵ weist den Leitwert G = 0S auf.



2.5.4 Widerstands- und Leitwertgerade

Da der Ohmsche Widerstand R bzw. der Leitwert G konstant sind, weist das Ohmsche Gesetz einen linearen Zusammenhang zwischen der Spannung U und dem Strom I auf:

$$U = R \cdot I = \frac{1}{G} \cdot I = \frac{I}{G} \qquad I = G \cdot U = \frac{U}{R}$$
 (2.24)

Wenn man diesen Zusammenhang grafisch darstellt, erhält man eine Gerade. Wir betrachten dazu beispielhaft den Ohmschen Widerstand $R=100\,\Omega$, zu dem gleichwertig der Leitwert $G=1/R=1/100\,\Omega=0.01\,\mathrm{S}$ gehört:

Widerstandsgerade. Bei der Widerstandsgeraden in Bild 2.24a tragen wir die Spannung U auf der vertikalen Achse und den Strom I auf der horizontalen Achse auf.

Steigung. Die Steigung der Geraden, also das Verhältnis der Spannung U zum Strom I, ergibt den Widerstand R gemäß Gl. (2.21).

Nullpunkt. Die Widerstandsgerade geht durch den Koordinatenursprung, da die Spannung U gleich null ist, wenn auch der Strom gleich null ist.

Konstruktion. Für die Konstruktion der Widerstandsgeraden ist es ausreichend, einen Punkt über das Ohmsche Gesetz gemäß Gl. (2.24) zu bestimmen, da die Widerstandsgerade durch den Nullpunkt geht. Wir wählen beispielhaft I=0.5A und erhalten dafür $U=R\cdot I=100\,\Omega\cdot 0.5$ A = 50V: Dieser Punkt ist in Bild 2.24a mit ① gekennzeichnet.

Christian Kral ■ 2024-10-02 12/17

Wir nennen das auch einen idealen »Kurzschluss«.

Statt Unterbrechung verwenden wir mitunter auch den Begriff »Leerlauf«.

Gesamteindruck



211

210 6 Magnetisches Feld

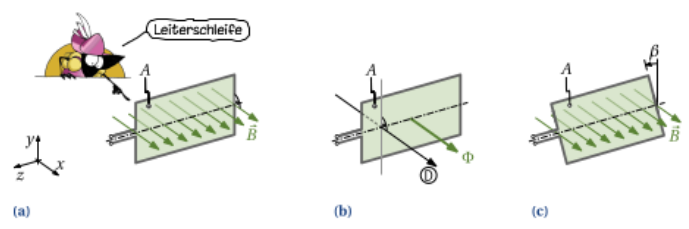


Bild 6.25 Perspektivische Ansicht einer Spule bzw. Leiterschleife in einem homogenen Magnetfeld \vec{B} , (a) senkrecht zum Magnetfeld, (b) mit Durchtrittssinn m und magnetischem Fluss Φ , (c) um den Winkel β aus der Normallage verdreht

Erweitertes Wissen. In manchen technischen Anwendungen stehen der Vektor der magnetischen Flussdichte \vec{B} und die Querschnittsfläche A nicht senkrecht aufeinander. Wir untersuchen eine derartige Situation anhand der Berechnung des magnetischen Flusses Φ für eine Spule bzw. Leiterschleife¹⁶, wie sie in Bild 6.25 gezeigt ist:

Homogenes Magnetfeld. Wir beginnen unsere Überlegungen mit dem in Bild 6.25a dargestellten homogenen Magnetfeld. Der magnetische Flussdichtevektor ist in diesem Fall in die positive *x*-Achse gerichtet:

$$\vec{B} = B \cdot \vec{e}_x$$
 (6.19)

Die Größe B repräsentiert hier die x-Koordinate der magnetischen Flussdichte \vec{B} .

Fläche und Durchtrittssinn. Wir setzen vereinfachend voraus, dass die Leiterschleife eben ist. Die beiden Zuleitungen zur Leiterschleife liegen so eng beisammen, dass sie keinen nennenswerten Beitrag zur Fläche A der Leiterschleife liefern. Um den magnetischen Fluss Φ allgemeingültig berechnen zu können, wählen wir den Durchtrittssinn 0 durch die Fläche, wie er in Bild 6.25b eingezeichnet ist:

Richtung des Durchtrittssinns. Wir zeichnen den Durchtrittssinn (1) stets orthogonal zur Fläche A. Wenn wir die Fläche neigen, bleibt der Durchtrittssinn – wie angeschraubt – fest mit der Fläche verbunden.

Flussrichtung. Wir wählen als Bezugsrichtung für die Berechnung des magnetischen Flusses Φ den Durchtrittssinn ⑤. Die Bezugsrichtung des magnetischen Flusses ist damit ebenso – wie angeschraubt – fest mit der Fläche A verbunden.

Verdrehung der Leiterschleife. Wir verdrehen die Leiterschleife um den Winkel β , wie das in Bild 6.25c perspektivisch gezeigt ist.

Flussberechnung. Für die Berechnung des magnetischen Flusses leistet nur die Normalkomponente B_n der magnetischen Flussdichte einen Beitrag:

$$\Phi = B_n \cdot A \qquad (6.20)$$

6.3 Magnetisches Ersatzschaltbild

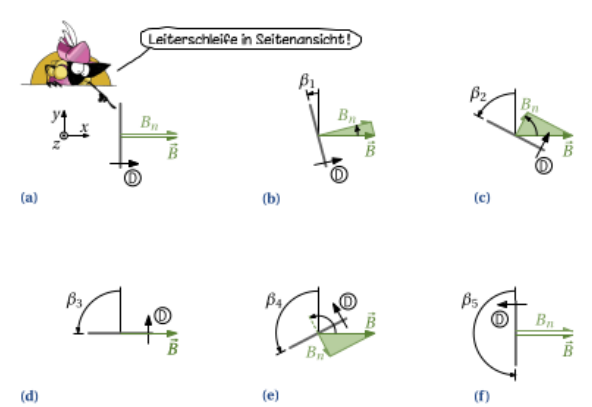


Bild 6.26 Berechnung des magnetischen Flusses Φ einer Leiterschleife aus der Normalkomponente \mathcal{B}_{σ} des magnetischen Flussdichtevektors $\tilde{\mathcal{B}}$ und der Fläche A für insgesamt sechs unterschiedliche Winkel: (a) $\beta_0=0^\circ$, (b) $\beta_1=12^\circ$, (c) $\beta_2=60^\circ$, (d) $\beta_3=90^\circ$, (e) $\beta_4=120^\circ$, (f) $\beta_5=180^\circ$; Durchtrittssinn 0

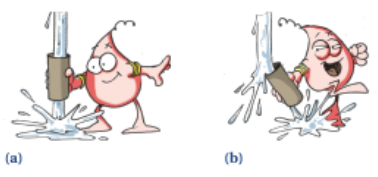


Bild 6.27 Wasserstrahl (a) geht vollständig durch das senkrechte Rohr und (b) teilweise durch das geneigte Rohr

Diese Normalkomponente ist in Bild 6.26 für unterschiedliche Verdrehwinkel β in einer Seitenansicht dargestellt. In Abhängigkeit des Verdrehwinkels β verändert sich die Normalkomponente B_n der magnetischen Flussdichte und damit der magnetische Fluss Φ .



Die Normalkomponente der magnetischen Flussdichte ist

- · positiv, wenn sie in Richtung des Durchtrittssinns (1) zeigt und

Normalkomponente. Die Bedeutung der Normalkomponente lässt sich anhand von Bild 6.27 erläutern. Die Wassermenge durch das von Henry gehaltene Rohr ist abhängig von der Winkellage, unter der das Rohr zur Richtung des Wasserstrahls gehalten wird. Das Rohr kann nur die Normalkomponente des Wasserstroms aufnehmen. Diese

Christian Kral ■ 2024-10-02 13/17

Ob wir eine Spule bzw. Leiterschleife oder einen Eisenschenkel betrachten, macht grundsätzlich keinen Unterschied. Für eine Spule bzw. Leiterschleife gibt es jedoch praktische Anwendungen, die wir in Abschnitt 6.4.2 aufgreifen.

Feedback zum Buch



- Fehler des Inhalts und der Darstellung
 - im Buch
 - in den LeTTo-Aufgaben
- Aktuelle Errata
- Verfügbar über GitHub → GitHub-Account
 - https://github.com/christiankral/ Grundlagen-der-Antriebstechnik
 - https://github.com/christiankral Grundlagen-der-Elektrotechnik
- Transparenter Prozess
 - Öffentlich
 - Reproduzierbar





Christian Kral ■ 2024-10-02 14/17

Geplantes Lehrbuch





- 1 Grundlegendes Handwerkszeug
- 2 Komplexe Rechnung
- 3 Wechselstrom
- 4 Drehstrom
- 5 Schaltvorgänge

Lehrstoff Energiesysteme (ES)

- 2. Jahrgang
 - Wechselstrom
- 3. Jahrgang
 - Drehstrom
 - Schaltvorgänge

Geplante Auflage: Juli 2025

Christian Kral ■ 2024-10-02 15/17

Carl Hanser Verlag München



- Grundlagen der Antriebstechnik https://www.hanser-fachbuch.de/fachbuch/artikel/9783446473751
- Grundlagen der Elektrotechnik 1 https://www.hanser-fachbuch.de/fachbuch/artikel/9783446473768
- Portal für Dozierende https://dozierende.hanser.de/



- Alle (!) Hanser-Bücher online
- Anmeldung über Schulkennzahl (Bearbeitungszeit)
- Ältere Accounts müssen erneuert werden
- Print- und PDF-Prüfexemplare auf Anfrage
- Derzeit nicht über digi4school.at verfügbar

Christian Kral ■ 2024-10-02 16/17



Vielen Dank für Ihre Aufmerksamkeit



Christian Kral TGM, Wexstraße 19-21, 1200 Wien mailto: ckral@tgm.ac.at



Christian Kral ■ 2024-10-02 17/17